

# MERANIE ZENITALNEJ ZÁVISLOSTI ROZSIAHLYCH SPRŠOK KOMOVICEHO ŽIARENIA METODOU POČITAČOVÝCH

TELESKOPOV

PAVEL CHALOUPKA, Praha

Zenitálna závislosť rozsiahlych spršok KŽ nám poskytuje cenné informácie jednako o priebehu absorpcie spršok v atmosféri, jednak o celom kaskádnom rozvoji spŕšok. Až dodnes bola táto závislosť meraná výlučne Wilsonovými hmlovými komorami [1], [2], a to tak, že sa priamo meral smer častic spršky vo Wilsonovej komore. Avšak preto, že ľudná plocha Wilsonovej komory je pomerne malá (rádu stoviek  $\text{cm}^2$ ), možno týmto spôsobom premerať len najhustejsie partie rozsahnej spršky (husoty  $\sim 100$  častic na  $\text{m}^2$ ), teda len okolie jadra spršky.

Z doberajúcich prác vyplýva [2], že v týchto častiach je závislosť počtu sprškových častic  $N$  od zenitového uhlia  $\vartheta$  daná vzorcom

$$N = k \cdot \cos^n \vartheta, \quad (1)$$

kde  $n$  má hodnotu  $\sim 8$ . Hodnota tohto exponentu väšak klesá so zmenšovaním husoty.  $n$  závisí jednak od celkovej energie spršky (t. j. od celkového počtu častic v sprške), jednak od vzdialenosťi od jadra spršky.

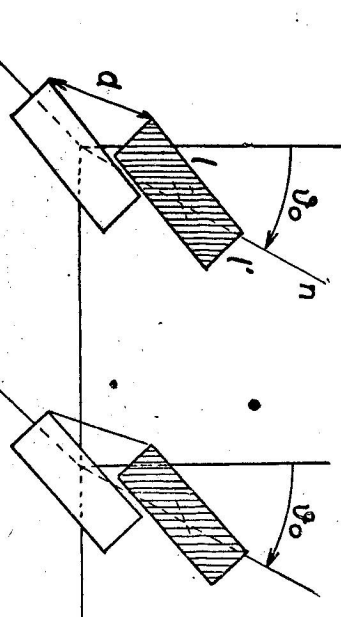
## 2. Experimentálne usporiadanie

Účelom náslovo merania bolo zistieť smerové rozloženie častic v okrajových častiach spršky. Pretože tu je hustota častic už značne malá, nemožno použiť Wilsonovu komoru, a preto sme indikovali spršky koincidenciou dvoch počítacových teleskopov, vzdialených od seba 7 m. Každý z teleskopov sa skladal z dvoch rovnobežných radov Geiger-Müllerových počítacov. V každom rade boli tri počítace o rozmeroch  $\Phi 45 \text{ mm}$ , dĺžka 600 mm a jeden  $\Phi 40 \text{ mm}$ , dĺžka 600 mm. Vzdialosť medzi radmi bola  $d = 540 \text{ mm}$ . Merali sme štvornásobné koincidencie všetkých radov oboch teleskopov. Teleskopy boli orientované do rovnakého smeru a merali sme pod zenitovým uhlom

$0^\circ$ ;  $22,5^\circ$ ;  $45^\circ$ ;  $67,5^\circ$ ;  $90^\circ$  v severojužnej a východozápadnej rovine. Aby sme vylúčili vplyv asymetrickej rozsiahlych spršok, spôsobenej zemským magnetickým polom [3], brali sme stred z hodnôt nameraných pri všetkých štyroch orientáciach vzhľadom na magnetický meridián. Meranie sme vykonali na vrchole Lomnického štítu ( $48^\circ N$  geomagnetickej sírky, 2634 m n. m.) v lete r. 1954. Vzhľadom na intenzitu KŽ na tomto mieste počet náhodných koincidencií je zanedbatelné malý (pod 1%).

## 3. Teória počitačových teleskopov

Majme dva teleskopy, slúžiacce na indikáciu rozsiahlych spršok, každý z nich nech sa skladá z dvoch radov počítacov o ľudnej ploche  $U'$  (obr. 1). Plochy nech sú od seba oddeľené medzerou  $d$ . Normálka k rovine teleskopov nech



Obr. 1.

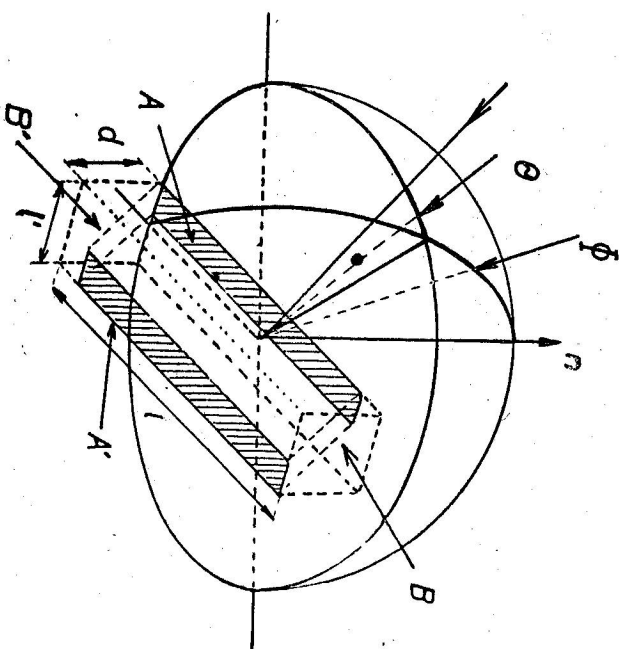
zveria so zenitom uhol  $\vartheta_0$ . Dvojnásobná koincidencia oboch radov jedného teleskopu môže byť spôsobená buď prechodom jednej časticie, prichádzajúcej zo smeru, nachádzajúceho sa v priestorovom uhlе, vymedzenom teleskopom, alebo aspoň dvoma časticami, prichádzajúcimi z ľubovoľného iného smeru. Koincidencie sôsobené časticami prichádzajúcimi zo smeru, ktorý leží v priestorovom uble, voláme v ďalšom pravé, ostatné koincidencie voláme nepráve. Aby sme mohli vypočať odhad pravých koincidencií, určime túto úvahu: nech prichádza na oba teleskopy sprška zo smeru, definovaného uhlami  $\Phi$  a  $\Theta$  (pozri obr. 2). Ak má prejsť jediná častică z tohto smeru oboma sadami, musí prejsť v hornej sade plochou  $A$ . Ak teda prichádza sprška zo smeru  $(\Phi, \Theta)$ , nőže nastat (pravá) koincidencia len v týchto prípadoch:

- V oboch teleskopoch prejde aspoň jedna častică plochou  $A$ . Minimálny počet častic, potrebný pre indikáciu spršky, je dve.

2. Jeden z teleskopov je zasiahnutý do plochy  $A$  aspoň jednou časticou. Druhý teleskop je zasiahnutý do ploch  $B$  a  $B'$ , ale nie do  $A$ . Minimálny počet častic sa rovná troma.

3. V každej sade každého teleskopu je zasiahnutá plocha  $B$  a  $B'$  aspoň jednou časticou, ale ani plocha  $A$ , ani plocha  $A'$  nie je zasiahnutá. Minimálny počet častic je rovný štvorm.

Projekciu plochy  $A$  do smeru,  $(\phi, \theta)$  si označme  $f_A(\phi, \theta)$ , projekciu plochy  $B$  symbolom  $f_B(\phi, \theta)$ . Potom pravdepodobnosť pre to, že spŕška, ktorá má



Obr. 2.

v miestach teleskopov hustotu  $\rho$ , spôsobí pravú koincidenciu, je daná vzorcom

$$P = (1 - e^{-\rho f_A})^2 + (1 - e^{-\rho f_B})^2 e^{-2\rho f_A} + 2(1 - e^{-\rho f_A})(1 - e^{-\rho f_B})e^{-\rho f_A}. \quad (2)$$

Pri odvodení tohto výrazu sme použili bežné vzorce pre pravdepodobnosť zásahu plochy časticou [4].

Vzhľadom na to, že do miest teleskopov prichádzajú spŕšky o rôznych hustotach, musíme výraz (2) integrovať cez všetky možné hustoty. Hustotné spektrum spŕšok je dané vzorcом [5]:

$$N(\rho) = B\rho^{-r}, \quad (3)$$

kde  $N(\rho)$  je počet spŕšok, ktoré jednotkovou plochou prejdú s hustotou  $\rho > 0$ .  $B$  je konštantá, ktorá pri hladine mora má hodnotu  $620 \text{ m}^{-2} \text{ hod}^{-1}$ ,  $\rho$  je hustota.

a  $\gamma$  je konštantá, ktorej hodnota  $\gamma < 1/2 >$  závisí od nadmorskej výšky. Z určitého smeru dostaneme teda  $N(\phi, \theta)$  pravých koincidencií:

$$N(\phi, \theta) = K \int_0^\infty \frac{(1 - e^{-\rho f_A})^2}{\rho^{r+1}} d\rho + 2K \int_0^\infty \frac{(1 - e^{-\rho f_B})^2 (1 - e^{-\rho f_A}) e^{-\rho f_A}}{\rho^{r+1}} d\rho + \\ + K \int_0^\infty \frac{(1 - e^{-\rho f_B})^2 e^{-2\rho f_A}}{\rho^{r+1}} d\rho. \quad (4)$$

Konštantu  $K$  si určíme takto: zenitová závislosť je daná vzorcom (1). Teda platí:

$$B = 2\pi k \int_0^{\frac{\pi}{2}} \cos^2 \theta \sin \theta d\theta = \frac{2\pi k}{n+1}. \quad (5)$$

Rovnicou (5) je určené  $k$ . Platí však [6]

$$K = k\gamma = \gamma \frac{B(n+1)}{2\pi}. \quad (6)$$

Všetky tri integrály v rovnici (4) existujú a postupne sa rovnajú:

$$\int_0^\infty \frac{(1 - e^{-\rho f_A})^2}{\rho^{r+1}} d\rho = f_A \cdot \frac{2\Gamma(r-1)}{\gamma(r-1)} (2^{r-1} - 1), \quad (7a)$$

$$\int_0^\infty \frac{(1 - e^{-\rho f_B})^2 (1 - e^{-\rho f_A}) e^{-\rho f_A}}{\rho^{r+1}} d\rho = \frac{\Gamma(r-1)}{\gamma(r-1)} \{ f_A^2 - 2(f_A + f_B)^r + \\ + (f_A + 2f_B)^r - (2f_A)^r + 2(2f_A + f_B)^r - (2f_A + 2f_B)^r \}, \quad (7b)$$

$$\int_0^\infty \frac{(1 - e^{-\rho f_B})^2 e^{-2\rho f_A}}{\rho^{r+1}} d\rho = \frac{\Gamma(r-1)}{\gamma(r-1)} \{ (2f_A)^r - 4(2f_A + f_B)^r - \\ - 6(2f_A + 2f_B)^r - 4(2f_A + 3f_B)^r + (2f_A + 4f_B)^r \} \quad (7c)$$

Teda je:

$$N(\phi, \theta) = \frac{B(n+1) \Gamma(r-1)}{\pi(r-1)} \{ 2f_A^2 (2^r - 1) - 2(2f_A + f_B)^r + (f_A + f_B)^r (2^{r-1} - 1) \}, \quad (8)$$

kde  $f = f_A + f_B$ .

Nepravé koincidencie nôžu byť spôsobené najmenej štvormi časticami. Ak označíme projekciu plochy  $U'$  do smeru, z ktorého tieto časticie prichádzajú  $f'$ , počet nepravých koincidencií z tohto smeru je dany výrazom

$$N(\phi, \theta) = \frac{B(n+1) \Gamma(r-1)}{\pi(r-1)} \left\{ 3 \cdot 2^r + \frac{4^r}{2} - 2 - 2 \cdot 3^r \right\} \cdot f'^r, \quad (9)$$

$$\left. \begin{aligned} f' &= U' \cos \Theta \cos \Phi, \\ f &= U \cos \Theta \cos \Phi, \\ f_k &= U' \cos \Phi (K \operatorname{tg} \Phi + K' \sin \Theta - K K' \operatorname{tg} \Theta \operatorname{tg} \Phi), \end{aligned} \right\} \quad (10)$$

$$\text{kde } K = \frac{d}{e} \text{ a } K' = \frac{d}{l'}$$

Tieto integrály boli vypočítané numericky za predpokladu, že  $\gamma = 1,5$  a že  $n = 6$  (ako vyplýva z práce [2]), alebo  $n = 1,5$  (závislosť celkovej intenzity). Pri výpočte nepravých koincidencií bola braná korekcia na hrúbkou počítacov. Pred numerickou integráciou bolo treba transformovať súradnice na nové súradnice  $(\Phi, \Theta)$  pomocou vzorca

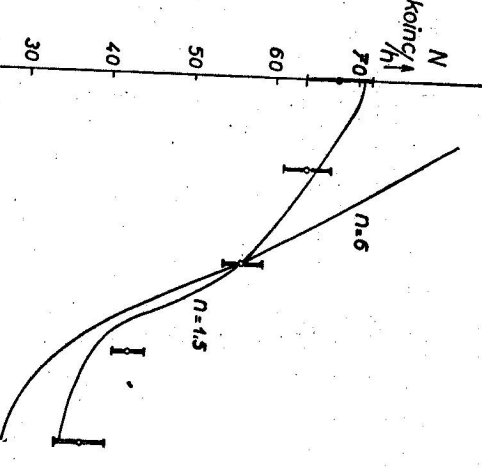
$$\cos \theta = \cos \Phi \cos (\theta_0 - \Theta), \quad (11)$$

ktorý bezprostredne vyplýva zo vzorcov sféricej trigonometrie.

#### 4. Diskusia výsledkov a záver

V grafe (obr. 3) sú vynesené jednako vypočítané hodnoty pre počet koincidencii v závislosti od zenitového uhla  $\theta$  (pri  $n = 6$  a  $n = 1,5$ ), jednako namerané hodnoty. Všetky údaje sú normalizované pre  $\theta_0 = 45^\circ$ . Konštantu  $B$ , ktorá bola určená pre hladinu mora, bolo treba zvýšiť na šesťnásobok, aby sa pri níkom štite asi 6-krát väčší ako pri hladine mora, čo je v dobrej súhlase s doterajšimi výsledkami merania výškovej závislosti rozsiahlych sprísok KZ [6]. Z grafu vidieť, že v porovnaní s krvkou, zodpovedajúcou  $n = 6$  je zenitová závislosť rozsiahlych sprísok pri malých hustotách ( $\sim 10 \text{ častic/m}^2$ ) značne menej strmá. Zrejme sa už blíži uhloveniu rozloženia celkovej intenzity kozmického žiarenia ( $n = 2$ ), aj keď štatistické chyby nedovolujú stanoviť hodnotu  $n$  presnejšie. Je pochopiteľné, že pri malých hustotách (partie na okraji sprísky) dojde k zníženiu exponentu  $n$ , pretože tam už je energia mera- ných častíc nižšia, ako v blízkosti jadra sprísky. Nasútek tomu však je hodnota  $n$  tohto roku merať ešte raz. Pretože je zaujímavé zistiť, ako rýchlosť  $n$  rastie s rastúcou hustotou  $\rho$ , premiername v tomto roku aj túto závislosť.

Záverom by som chcel podložiť predovšetkým dr. L. Tomáškovej z Fyzikálneho ústavu ČSAV v Prahe, ktorá mi obeteava pomáhala pri meraní. Ďalej som zaviazaný vďakou Štátному hydrometeorologickému ústavu za



Obr. 3.

Za zhotovenie konštrukcie prístroja dámkujem konštrukčnej skupine Fyzikálneho ústavu ČSAV, vedenej inž. Brojom a zamestnancom mechanickej dielne, najmä S. Krumlovi.  
Došlo 20. V. 1955.

*Ceskoslovenskej akadémie vied, Praha*

#### LITERATÚRA

- Heisenberg W., Vorträge über Kosmische Strahlung, Springer — Berlin, 1953, str. 430.
- Hazen W. E., Williams R. W., Randall C. A., Phys. Rev. 93 (1954), 578.
- Chaloupka P., Čes. čas. fys. 4 (1954), 612.
- Dobrota N. A. et al., UFN 49 (1953), 185.
- Hodson A. L., Proc. Phys. Soc. A. 66 (1953), 49.
- Heisenberg W., pozri [1], str. 429.

to, že mi tieto merania umožnil. Moja vďaka patrí aj všetkým pracovníkom z Lomnického štítu, najmä A. Mrkosovi a pracovníkom hvezdarne na Skalnatom plese.